



ESPE

UNIVERSIDAD DE LAS FUERZAS ARMADAS
INNOVACIÓN PARA LA EXCELENCIA

CARRERA DE INGENIERÍA EN ELECTRÓNICA E INSTRUMENTACIÓN

“TECNOLOGÍAS DE BAJO COSTO PARA LA IMPLEMENTACIÓN DE CONTROL AVANZADO EN UN PROCESO INDUSTRIAL”

Autores:

Jorge Luis Buele León

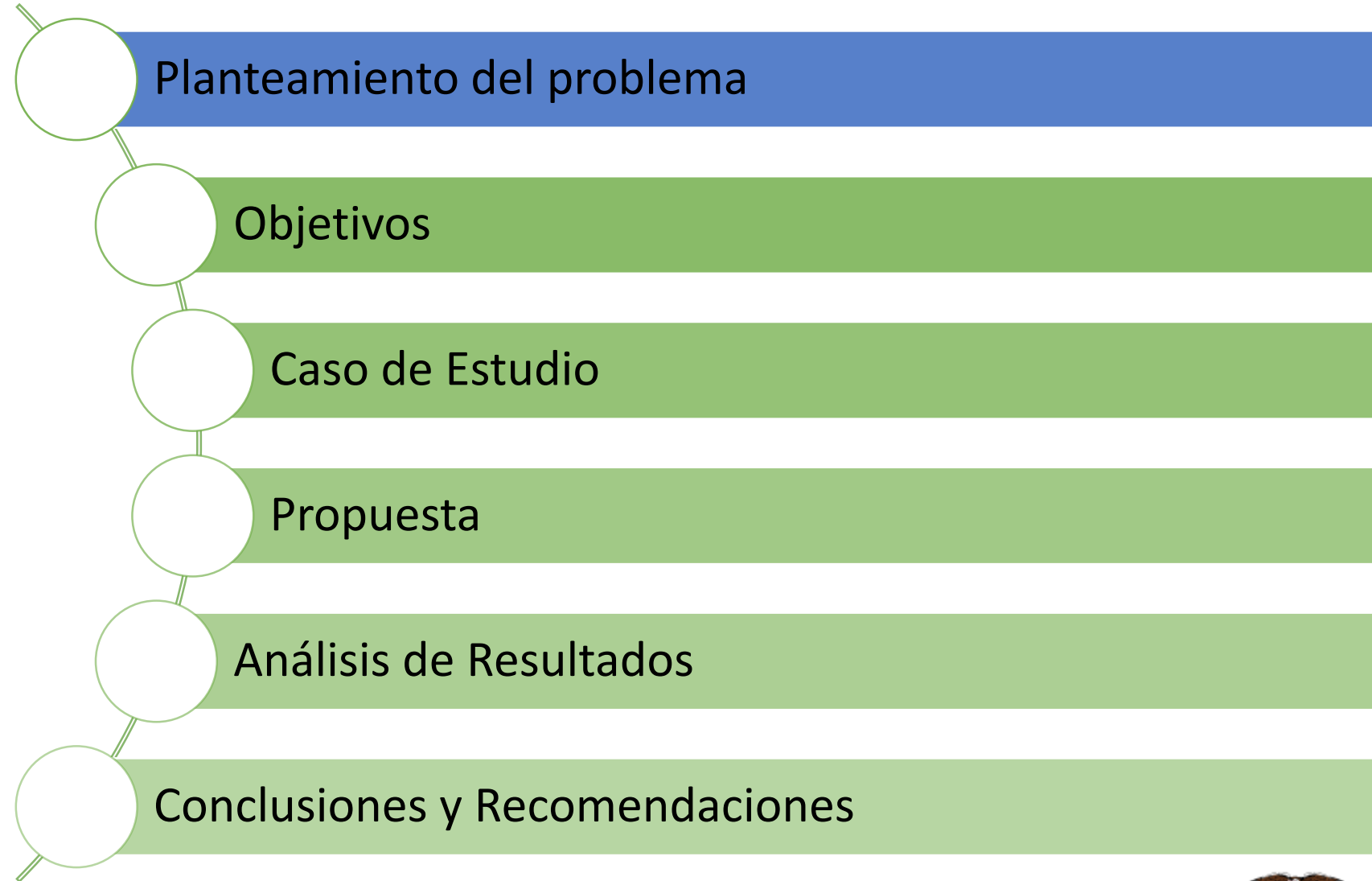
John Javier Espinoza Mejía

Director:

Ing. Marco Pilatásig



CONTENIDO



PLANTEAMIENTO DEL PROBLEMA

Dispositivos industriales a altos costos.

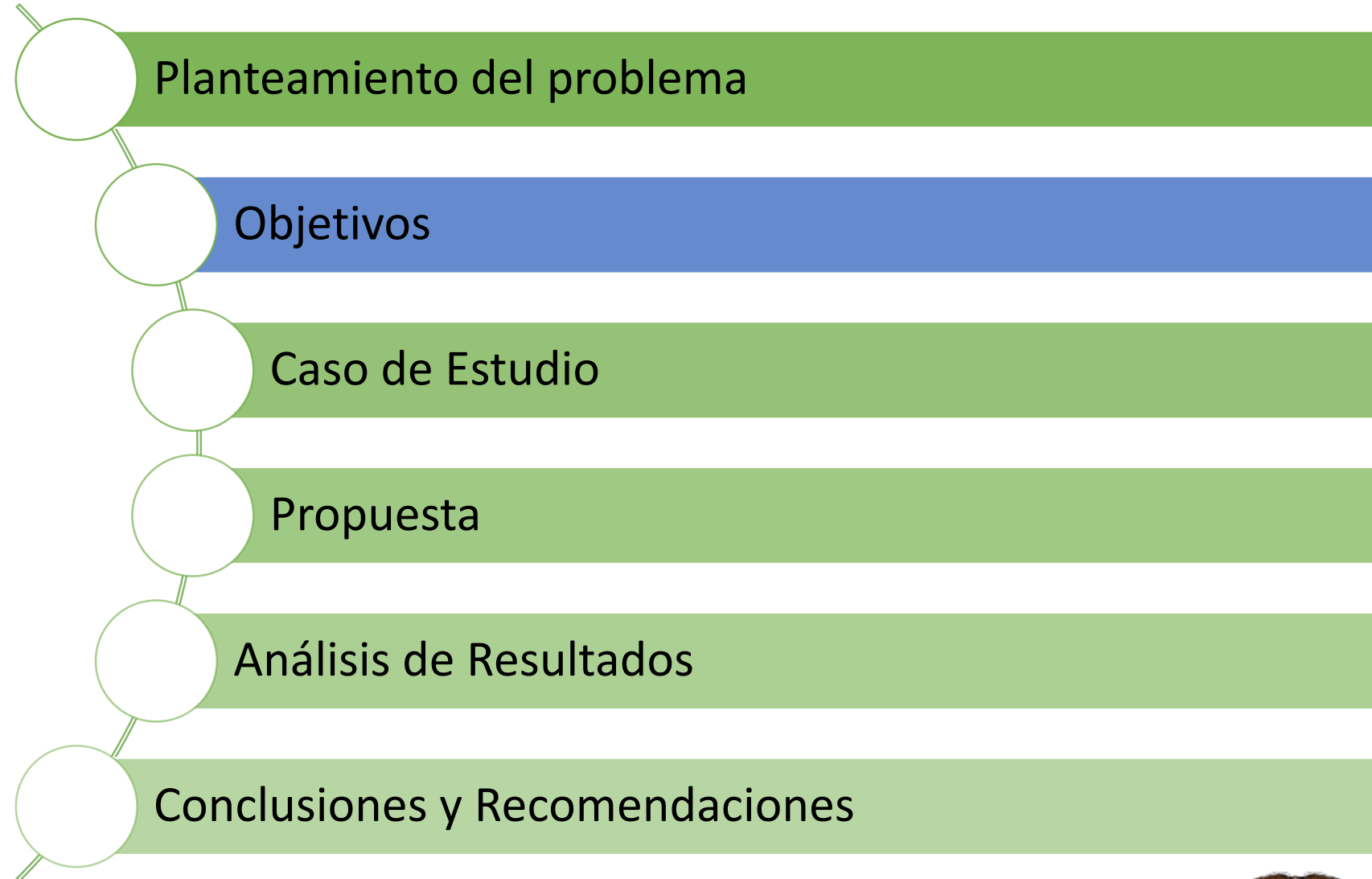
Necesidad del uso de software propietario.

Limitaciones en el campo académico.

Poca información sobre las tecnologías de bajo costo.

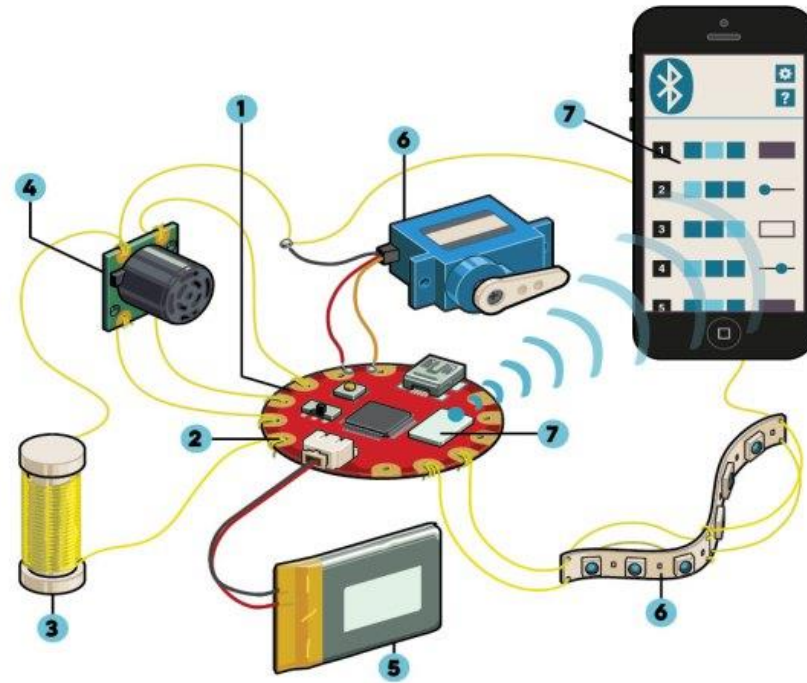


CONTENIDO



OBJETIVO GENERAL


Analizar las tecnologías de bajo costo para su uso en la implementación de control avanzado en un proceso industrial.




OBJETIVOS ESPECÍFICOS




Investigar sobre las tecnologías de bajo costo y controles avanzados que se usan en el control automático de procesos industriales.



Implementar un algoritmo de control avanzado usando tecnologías de bajo costo.



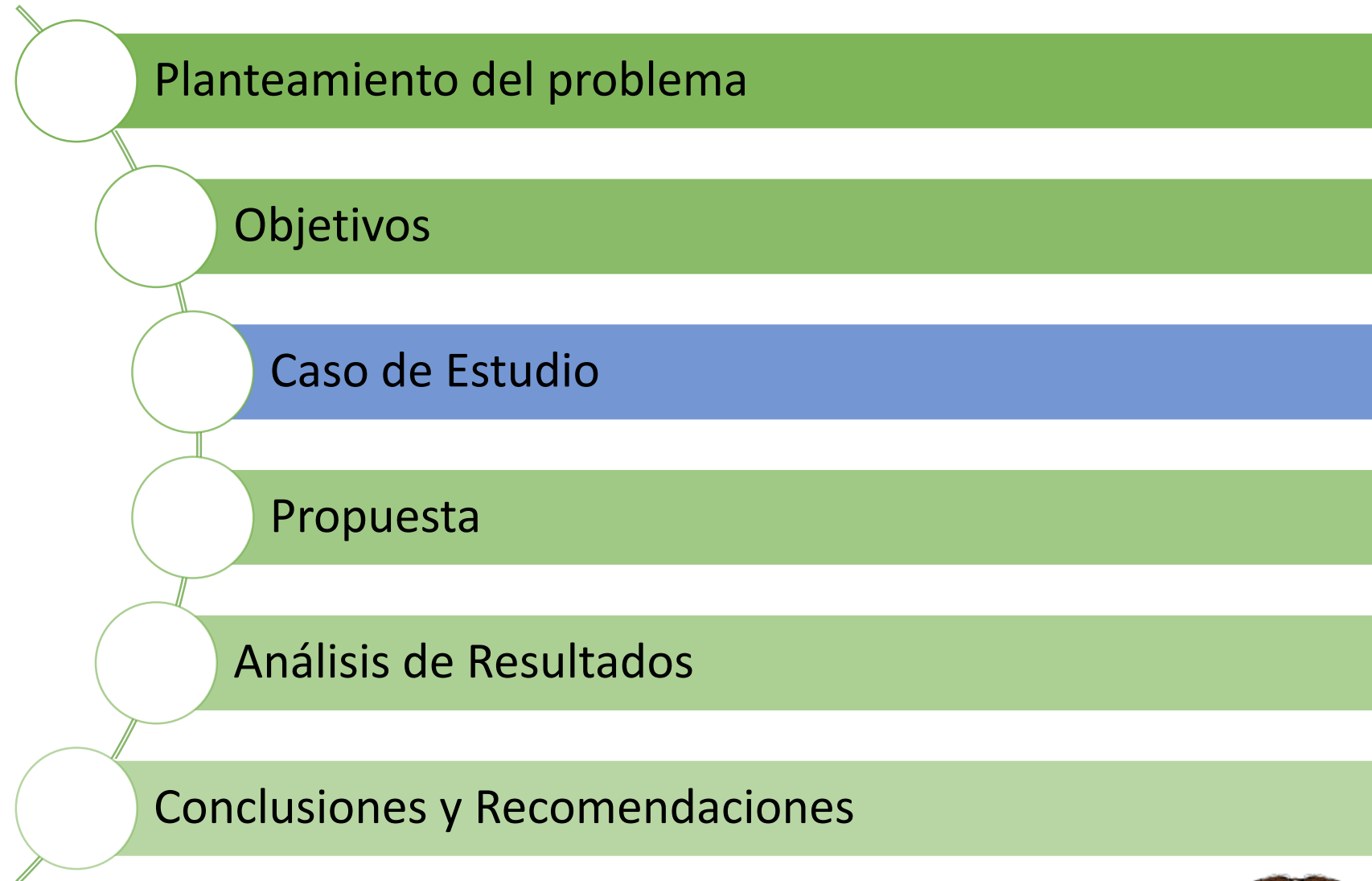
Analizar las curvas de respuesta obtenidas de las diferentes tecnologías implementadas, así como las principales características técnicas y prestaciones que cada una ofrece.



Determinar cuál de las tecnologías usadas presenta un mejor desempeño con el control avanzado implementado.



CONTENIDO



CASO DE ESTUDIO

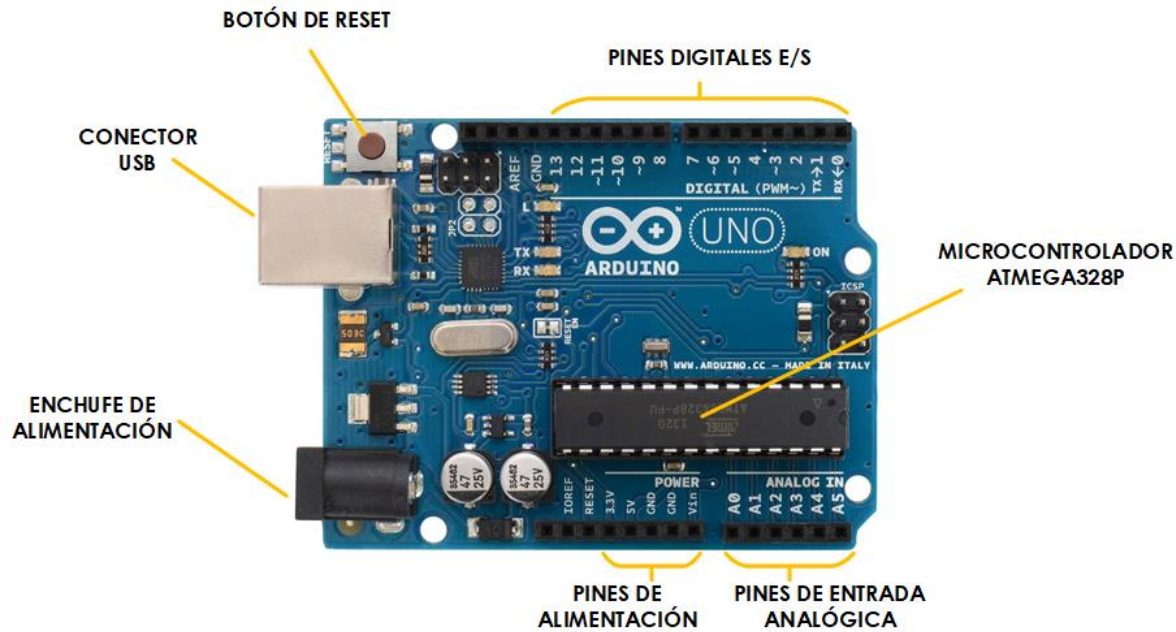
ESTACIÓN DE FLUJO DE CAUDAL



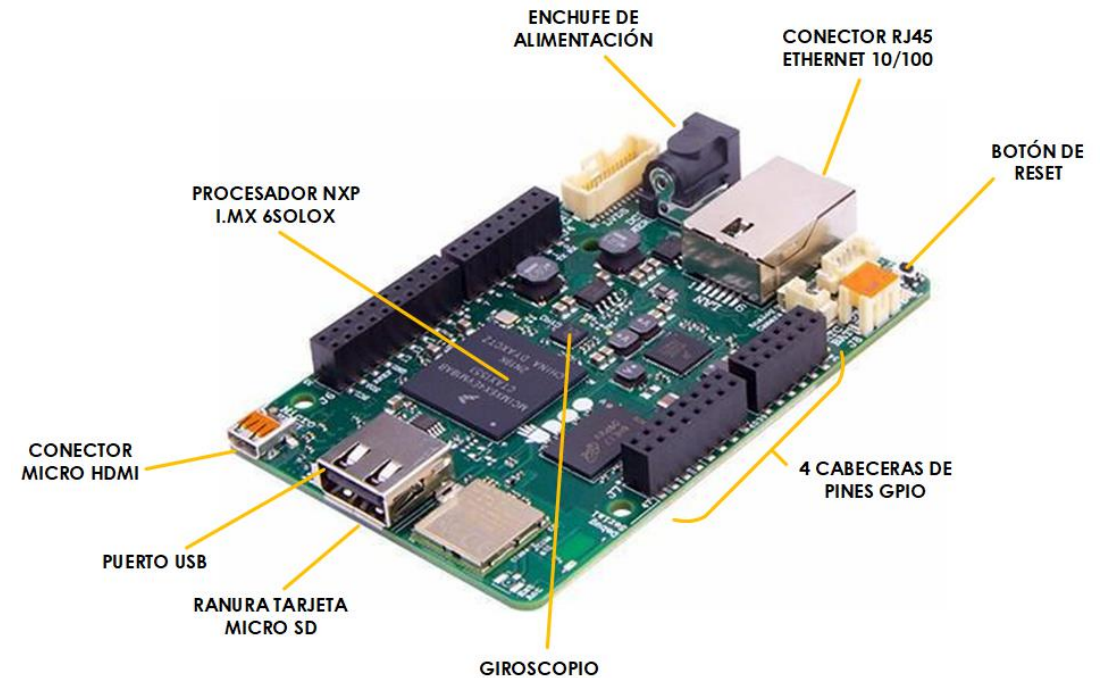
CASO DE ESTUDIO

TECNOLOGÍAS DE BAJO COSTO

ARDUINO UNO R3



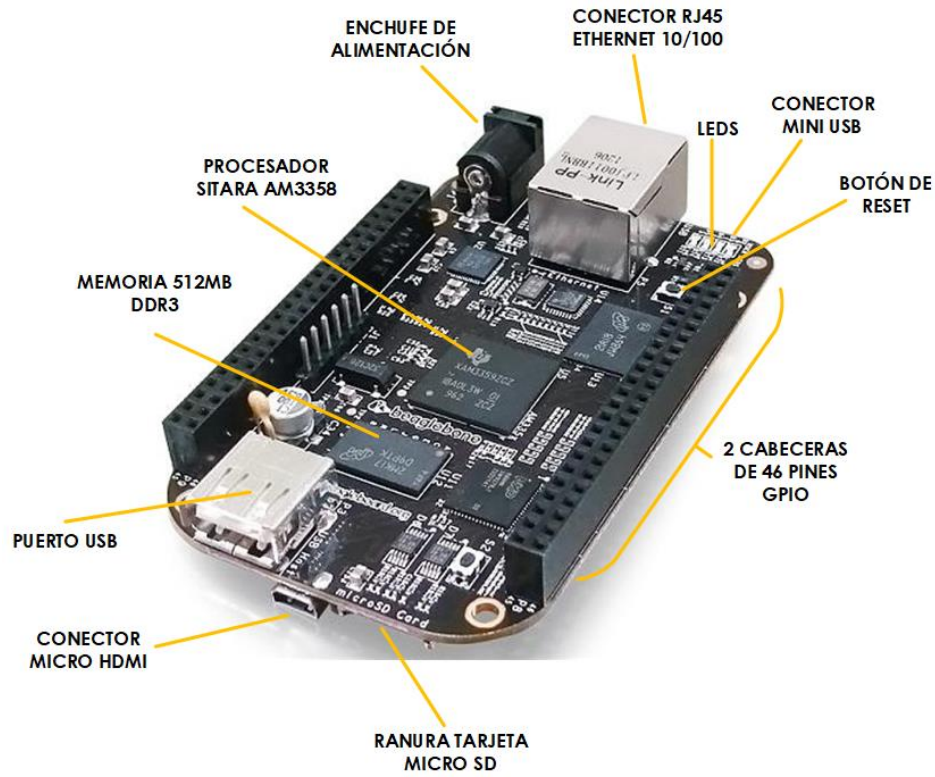
UDOO NEO FULL



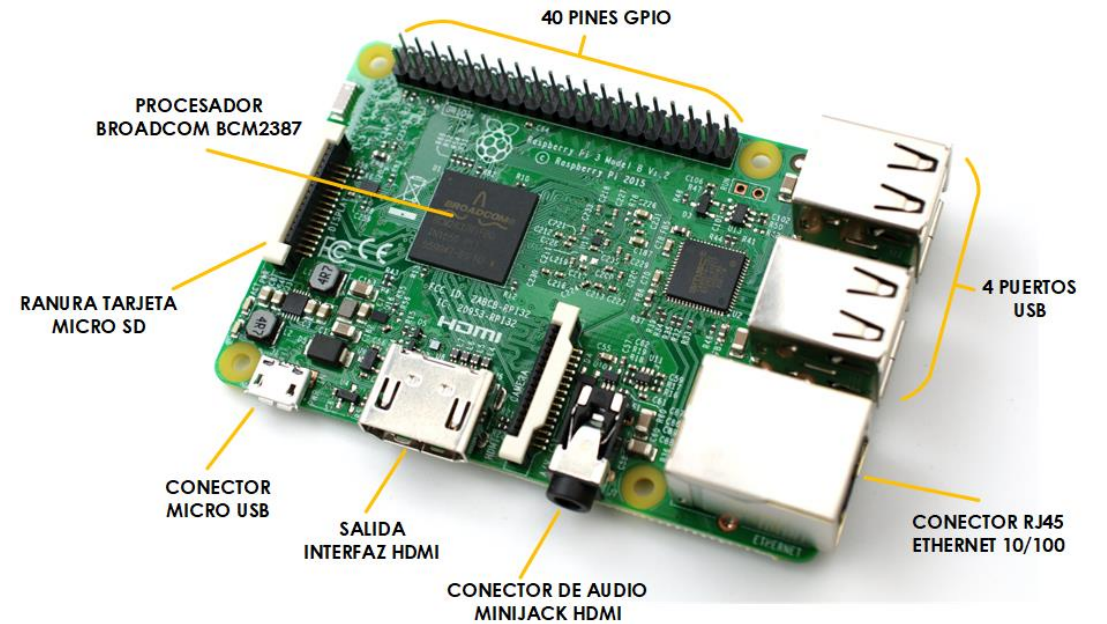
CASO DE ESTUDIO

TECNOLOGÍAS DE BAJO COSTO

BEAGLEBONE BLACK



RASPBERRY PI 3

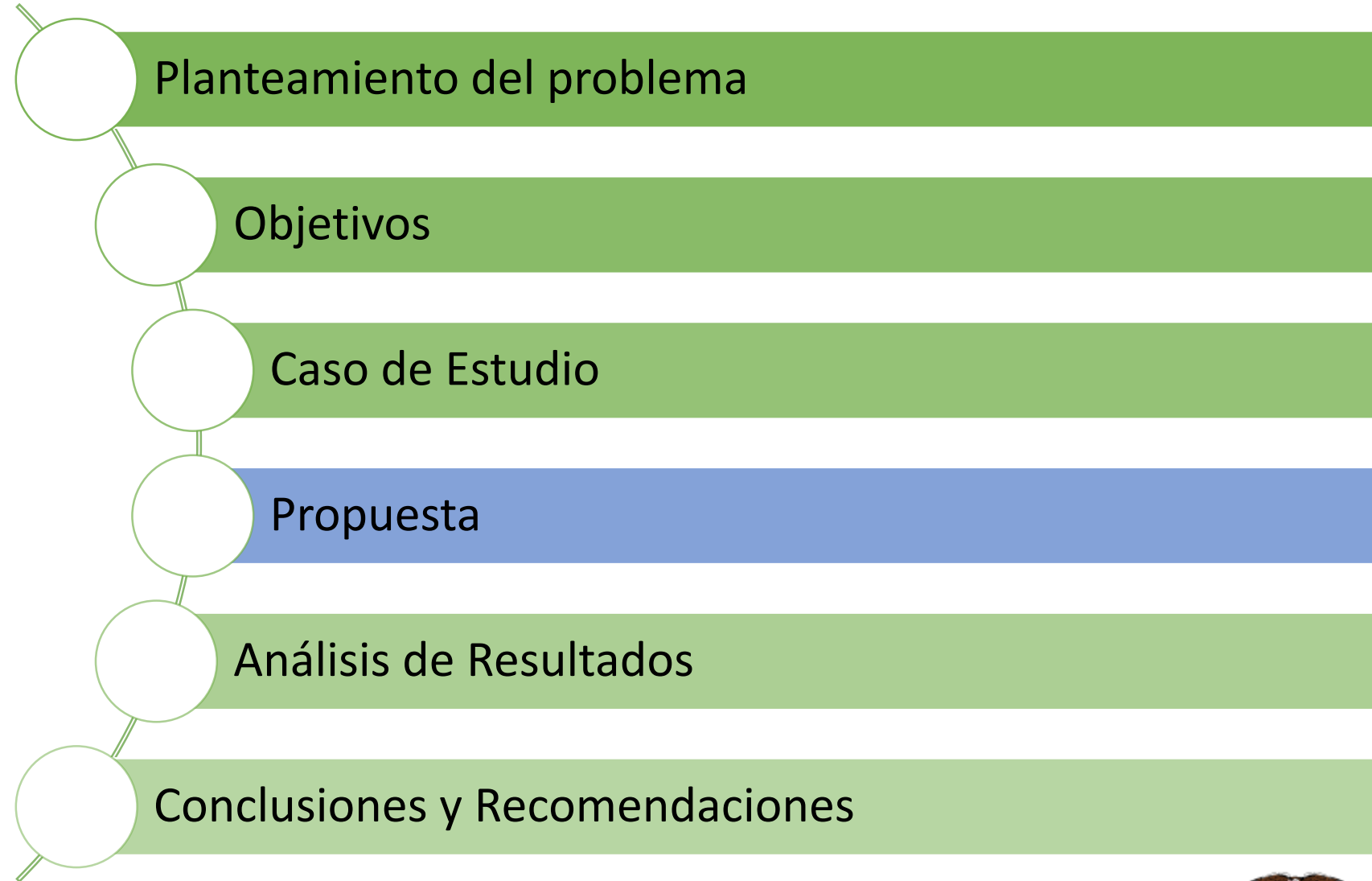


CASO DE ESTUDIO

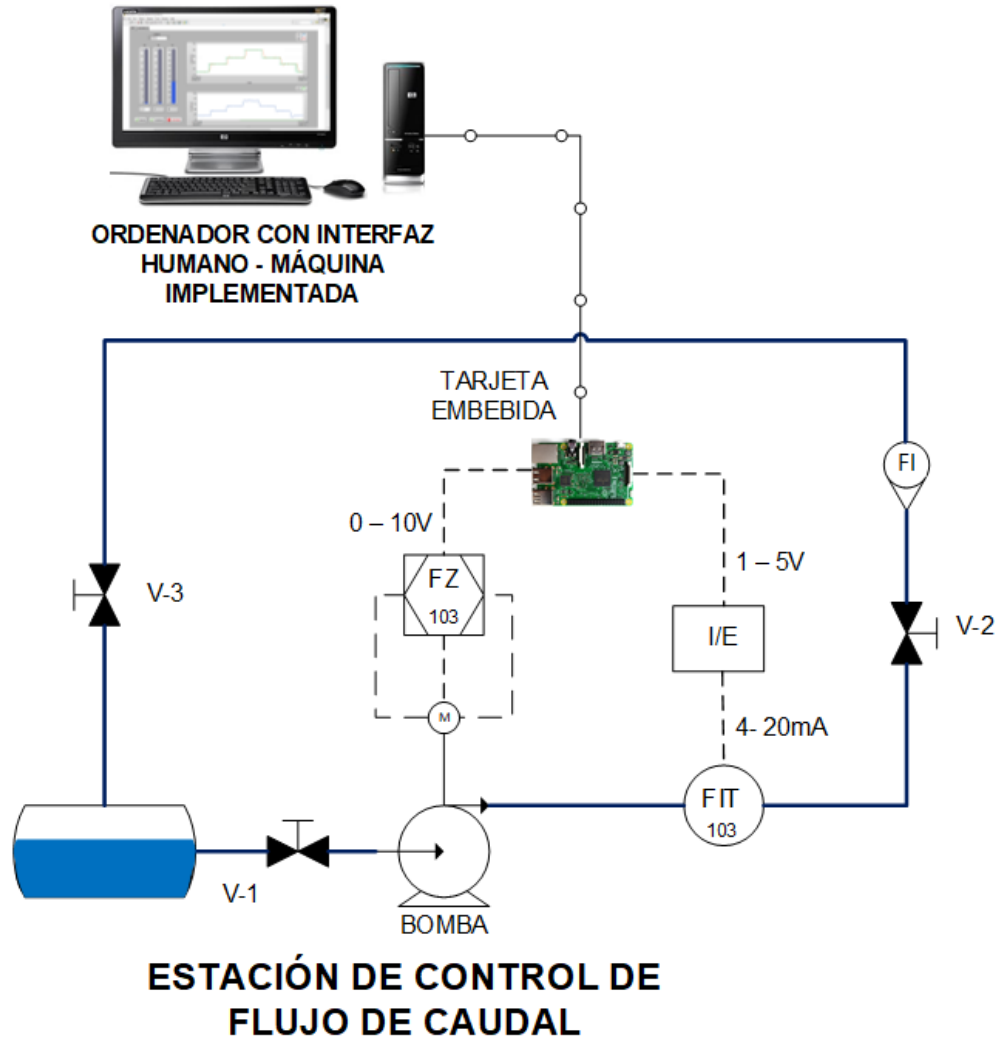
| COMPONENTE | ARDUINO UNO R3 | RASPBERRY PI 3 | BEAGLEBONE BLACK | UDOO NEO FULL |
|------------------------------|---------------------------------------|--|---|--|
| Procesador | Microcontrolador ATmega328P | Broadcom BCM2387 64-bit ARMv8 - Quad-Core Cortex-A53 a 1.2 GHz | SITARA AM335x a 1 GHz ARM Cortex-A8 | NXP i.MX 6SoloX |
| Motor de gráficos | - | Co-procesador Multimedia Dual Core VideoCore IV®. | SGX530 3D, 20 M Polygons/S | Vivante GC420, acelerador gráfico integrado 2D/3D. |
| Memoria | Flash: 32 KB, SRAM: 2 KB, EEPROM: 1KB | 1GB LPDDR2 | 512 MB DDR3L 800 MHz | 1 GB |
| Almacenamiento masivo | - | Ranura para tarjeta MicroSD. Interfaz SDIO de de 8-bit | Ranura para tarjeta MicroSD. Interfaz de 8-bit eMMC | Ranura para tarjeta MicroSD. Interfaz SDIO de 8-bit |
| USB | 1 conector USB 2.0. Puerto tipo B | 4 puertos USB 2.0. Puertos tipo A | 1 puerto USB 2.0. 1 enchufe tipo A | 1 puerto USB 2.0. Puertos tipo A 1 puerto USB OTG (conector micro-AB) |
| Redes | - | 1 conector RJ45 Fast ethernet 10/100 Mbps, Wi-Fi 802.11 b/g/n, Bluetooth 4.1 (clásico y de bajo consumo) | 1 conector RJ45 Fast ethernet 10/100 Mbps | 1 conector RJ45 Fast ethernet 10/100 Mbps, Wi-Fi 802.11 b/g/n, Bluetooth 4.0 Baja energía |
| Puertos seriales | 1 puerto UART | 2 puertos UART | 5 puertos UART | 3 puertos UART |
| Otras interfaces | 1 interfaz I2C, 1 interfaz SPI | 1 interfaz I2C, 2 interfaces SPI | 1 interfaz I2C, 1 interfaz SPI | 3 interfaces I2C, 1 interfaz SPI |
| Otros | ADC interno: 5 V a 10 bits | - | ADC interno: 1.8 V a 12 bits | Sensores: 1 acelerómetro de 3 ejes, 1 magnetómetro de 3 ejes, 1 giroscopio digita de 3 ejes. ADC interno: 3.3 V a 12 bits |



CONTENIDO



PROPUESTA



CONTROLADORES AVANZADOS

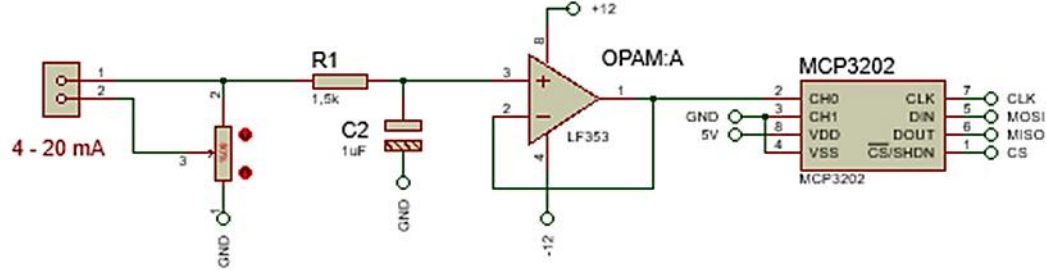
CONTROL BORROSO

CONTROL PREDICTIVO POR MODELO

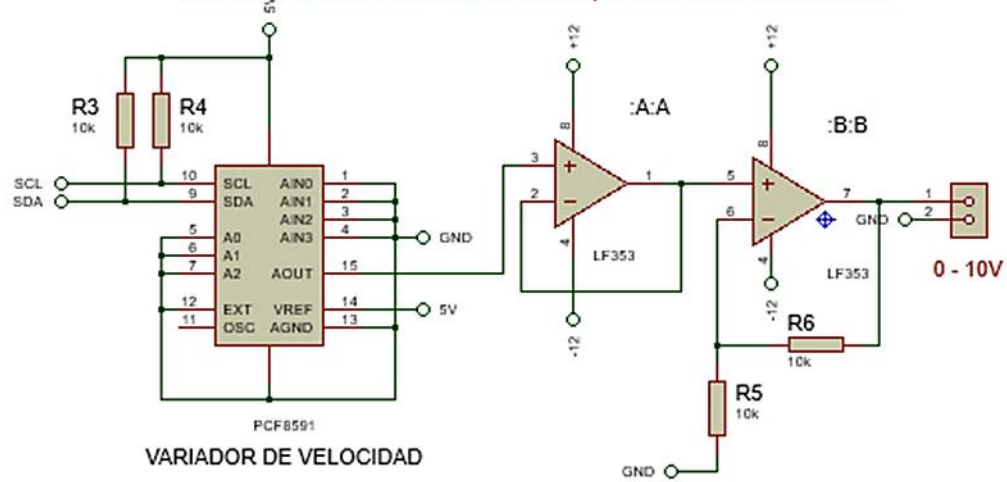


HARDWARE

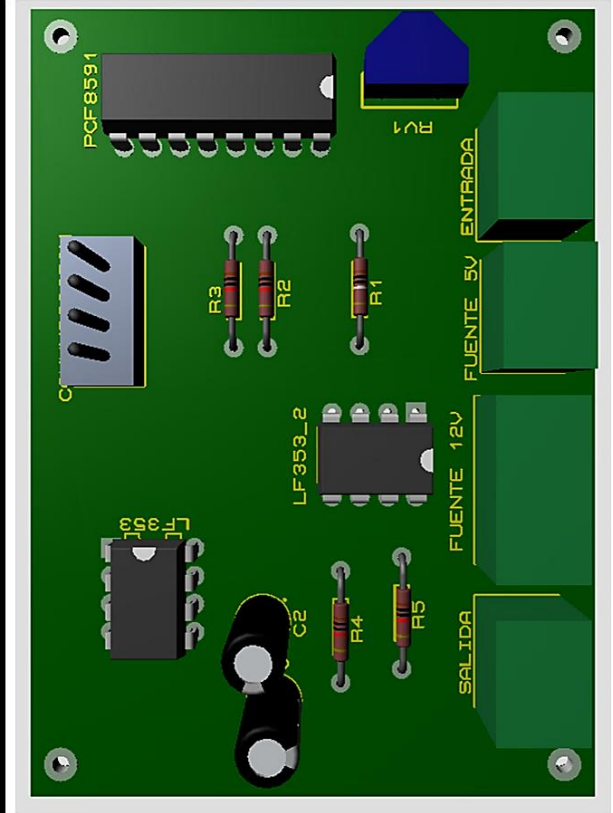
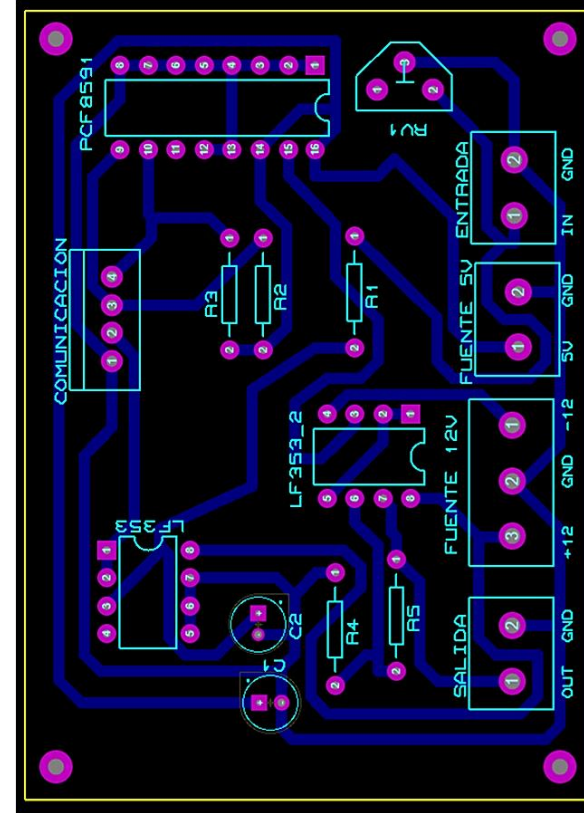
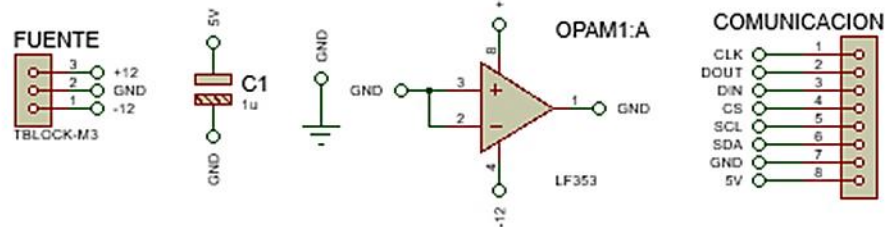
Acondicionamiento de la señal previo al controlador



Acondicionamiento de la señal posterior al controlador

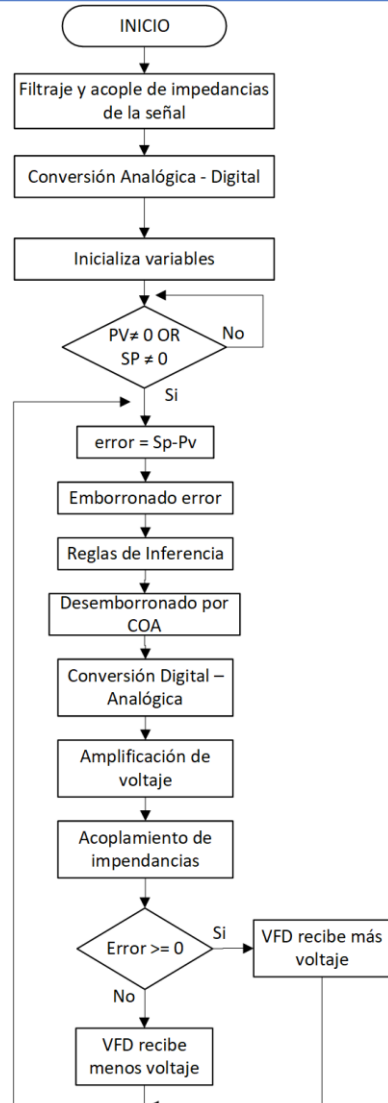


Conexiones adicionales

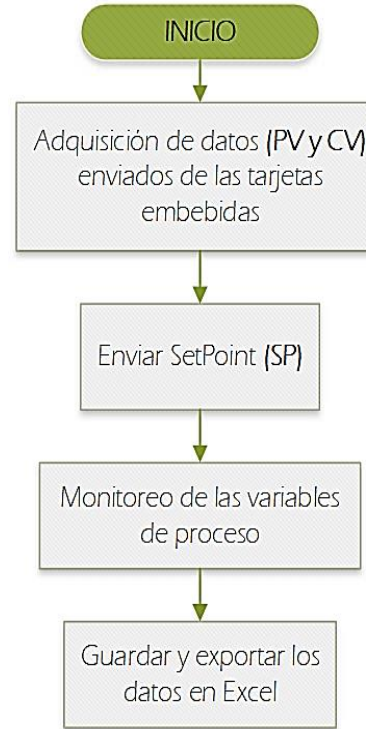


SOFTWARE

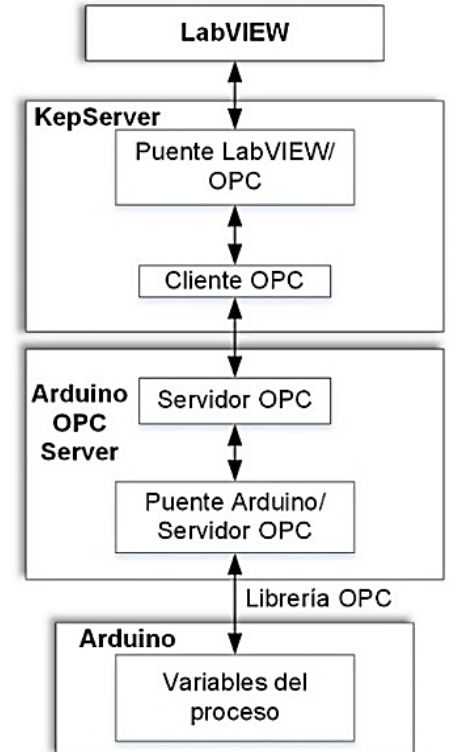
PROCESO DE CONTROL



HMI



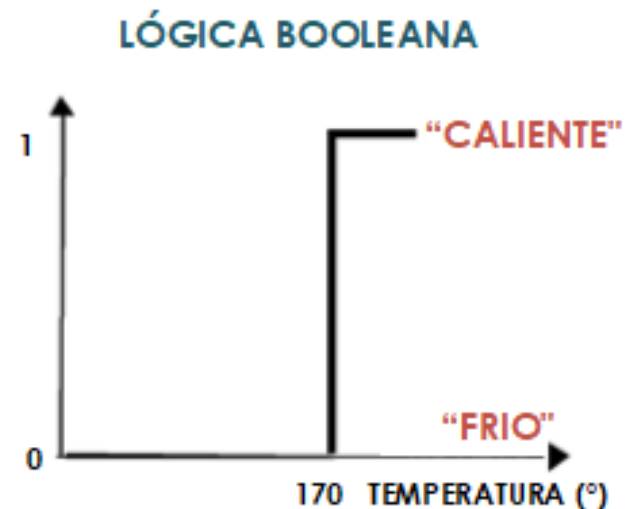
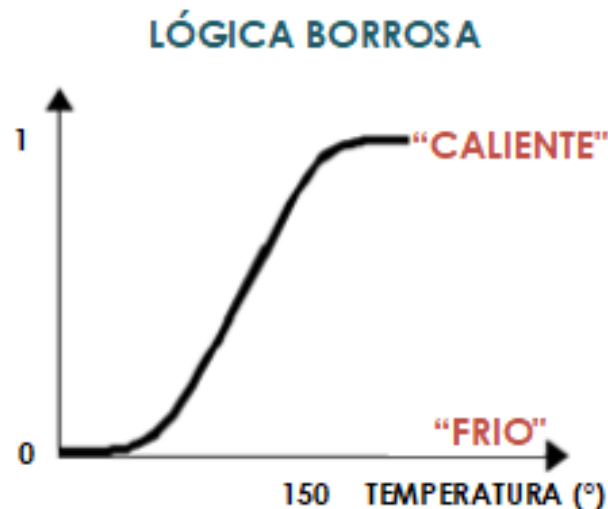
COMUNICACIÓN OPC



CONTROL BORROSO

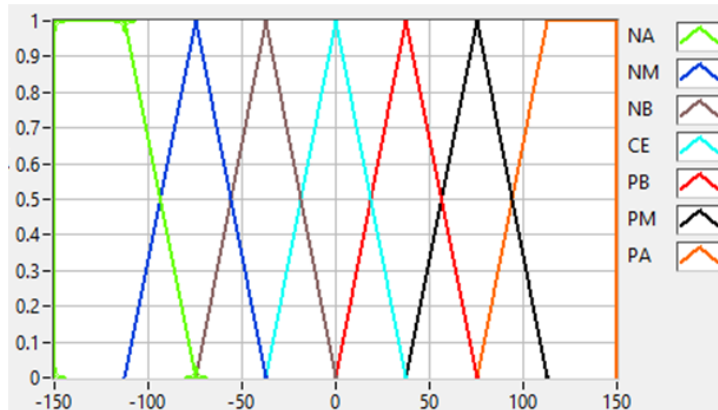
DEFINICIÓN

Su objetivo es brindar un sistema frontal computacionalmente dotado de técnicas para trabajar con un razonamiento aproximado, en lugar de uno exacto. Todo está en términos del grado de pertenencia a un conjunto.



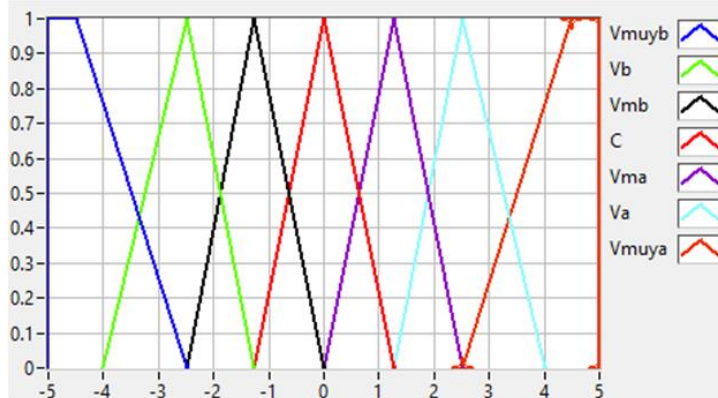
CONTROL BORROSO

CONJUNTOS DE ENTRADA



```
// Agrupa todos los conjuntos borrosos de entrada que pertenecen al mismo dominio.
FuzzyInput* err_caudal = new FuzzyInput(1);
// Conjuntos borrosos de entrada
FuzzySet* NA = new FuzzySet(-150,-150, -112.5, -75); // Error Negativo Alto
err_caudal->addFuzzySet(NA);
FuzzySet* NM = new FuzzySet(-112.5,-75, -75, -37.5); // Error Negativo Medio
err_caudal->addFuzzySet(NM);
FuzzySet* NB = new FuzzySet(-75,-37.5, -37.5, 0); // Error Negativo Bajo
err_caudal->addFuzzySet(NB);
FuzzySet* CE = new FuzzySet(-37.5,-0,0,37.5); // Error Neutro
err_caudal->addFuzzySet(CE);
FuzzySet* PB = new FuzzySet(0,37.5,37.5,75); // Error Positivo Bajo
err_caudal->addFuzzySet(PB);
FuzzySet* PM = new FuzzySet(37.5,75,75,112.5); // Error Positivo Medio
err_caudal->addFuzzySet(PM);
FuzzySet* PA = new FuzzySet(75,112.5,150,150); // // Error Positivo Alto
err_caudal->addFuzzySet(PA);
fuzzy->addFuzzyInput(err_caudal); //Adiciona los conjuntos de entrada al objeto Borroso
```

CONJUNTOS DE SALIDA



```
// Agrupa todos los conjuntos borrosos de entrada que pertenecen al mismo dominio.
FuzzyOutput* Voltaje = new FuzzyOutput(1);
// Adicionando conjuntos borrosos de salida
FuzzySet* Vmuyb = new FuzzySet(-5,-5,-4.5,-2.5); // Voltaje Muy Bajo
Voltaje->addFuzzySet(Vmuyb);
FuzzySet* Vb = new FuzzySet(-4, -2.5, -2.5,-1.275); // Voltaje Bajo
Voltaje->addFuzzySet(Vb);
FuzzySet* Vmb = new FuzzySet(-2.5,-1.275,-1.275,0); // Voltaje Medio Bajo
Voltaje->addFuzzySet(Vmb);
FuzzySet* C = new FuzzySet(-1.275, 0, 0, 1.275); // Voltaje Cero
Voltaje->addFuzzySet(C);
FuzzySet* Vma = new FuzzySet(0,1.275,1.275,2.5); // Voltaje Medio Alto
Voltaje->addFuzzySet(Vma);
FuzzySet* Va = new FuzzySet(1.275,2.5,2.5,4); // Voltaje Alto
Voltaje->addFuzzySet(Va);
FuzzySet* Vmuya = new FuzzySet(2.5,4.5,5,5); // Voltaje Muy Alto
Voltaje->addFuzzySet(Vmuya); // Adicionando o FuzzySet T
fuzzy->addFuzzyOutput(Voltaje); // Adicionando o FuzzyOutput no objeto Fuzzy
```



CONTROL BORROSO

BASE DE REGLAS

1. **SI** err_{caudal} es NA, **ENTONCES** el voltaje del variador es V_{muyb}
2. **SI** err_{caudal} es NM, **ENTONCES** el voltaje del variador es V_b
3. **SI** err_{caudal} es NB, **ENTONCES** el voltaje del variador es V_{mb}
4. **SI** err_{caudal} es CE, **ENTONCES** el voltaje del variador es C
5. **SI** err_{caudal} es PB, **ENTONCES** el voltaje del variador es V_{ma}
6. **SI** err_{caudal} es PM, **ENTONCES** el voltaje del variador es V_a
7. **SI** err_{caudal} es PA, **ENTONCES** el voltaje del variador es T

```
// Base de Reglas: Inferencia de Mamdani
FuzzyRuleAntecedent* SI_NA = new FuzzyRuleAntecedent(); //Instanciando un Antecedente
SI_NA->joinSingle(NA); // Adicionando un Conjunto de Entrada al Antecedente
FuzzyRuleConsequent* ENTONCES_Vmuyb = new FuzzyRuleConsequent(); // Instanciando un Consecuente
ENTONCES_Vmuyb->addOutput(Vmuyb); // Adicionando un Conjunto de Salida al Consecuente

FuzzyRuleAntecedent* SI_NM = new FuzzyRuleAntecedent();
SI_NM->joinSingle(NM);
FuzzyRuleConsequent* ENTONCES_Vb= new FuzzyRuleConsequent();
ENTONCES_Vb->addOutput(Vb);

FuzzyRuleAntecedent* SI_NB = new FuzzyRuleAntecedent();
SI_NB->joinSingle(NB);
FuzzyRuleConsequent* ENTONCES_Vmb = new FuzzyRuleConsequent();
ENTONCES_Vmb->addOutput(Vmb);

FuzzyRuleAntecedent* SI_CE = new FuzzyRuleAntecedent();
SI_CE->joinSingle(CE);
FuzzyRuleConsequent* ENTONCES_C = new FuzzyRuleConsequent();
ENTONCES_C->addOutput(C);

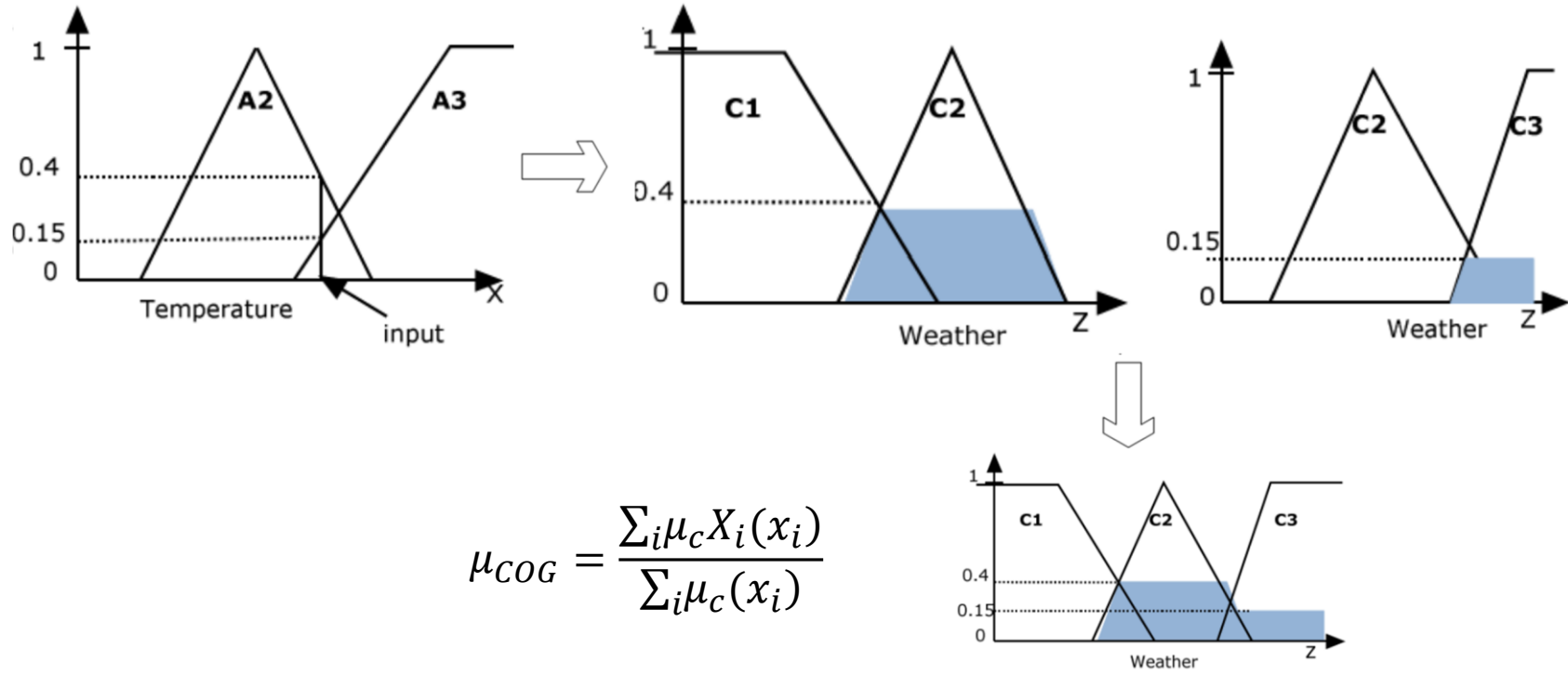
FuzzyRuleAntecedent* SI_PB = new FuzzyRuleAntecedent();
SI_PB->joinSingle(PB);
FuzzyRuleConsequent* ENTONCES_Vma = new FuzzyRuleConsequent();
ENTONCES_Vma->addOutput(Vma);
```



CONTROL BORROSO

DESEMBORRONADO

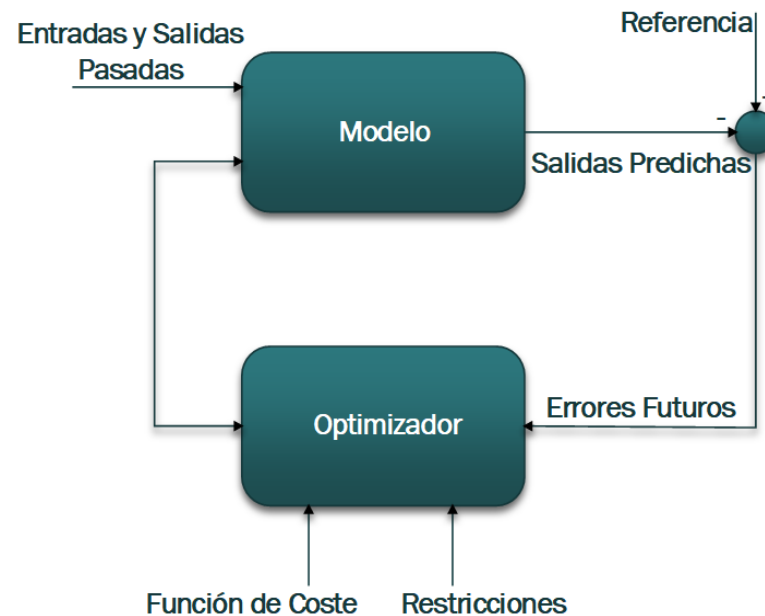
```
fuzzy -> setInput(1, Error);  
fuzzy -> fuzzify();  
Salida = fuzzy -> defuzzify(1);
```



CONTROL PREDICTIVO POR MODELO

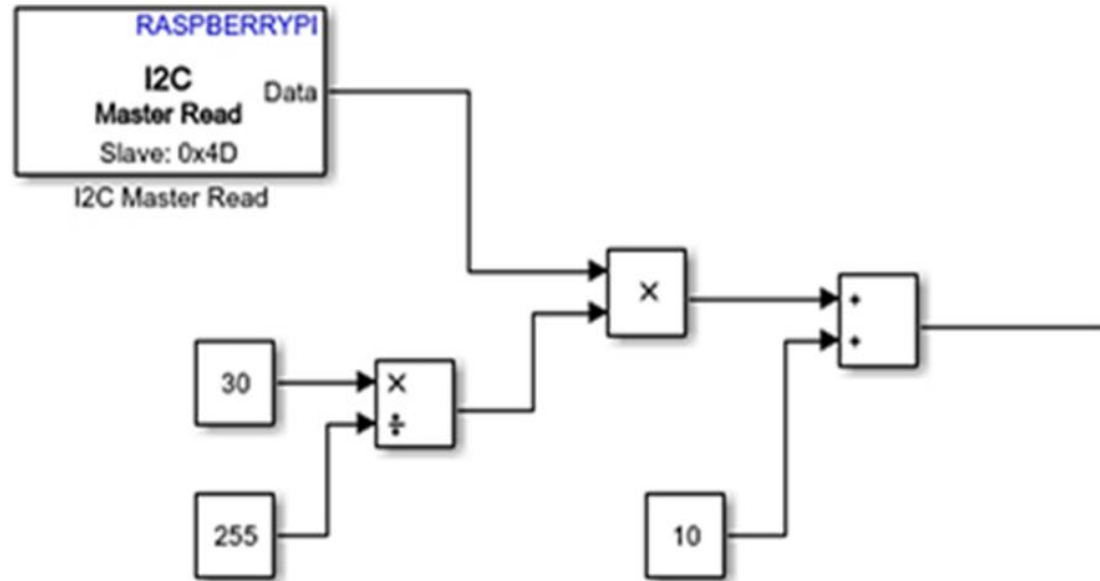
DEFINICIÓN

Permite optimizar el proceso de la planta, al predecir el desempeño futuro y calcular las acciones de las variables manipuladas y controladas del proceso para alcanzar los objetivos esperados



CONTROL PREDICTIVO POR MODELO

ADQUISICIÓN DE DATOS

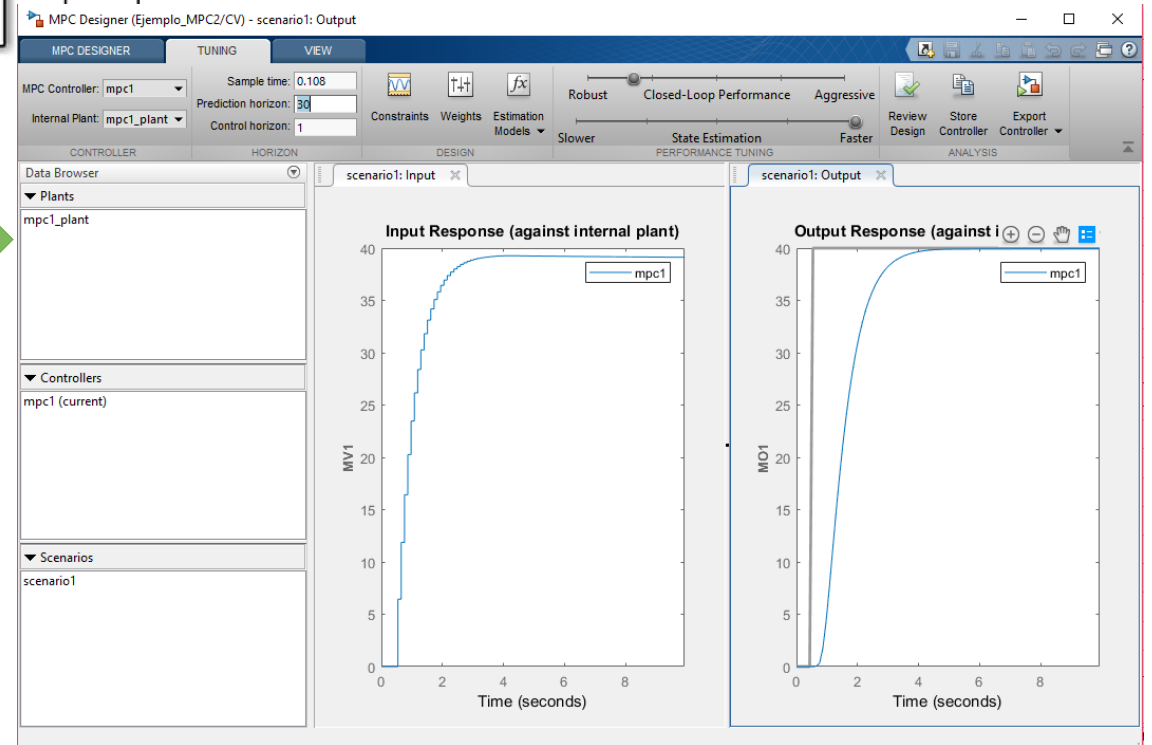
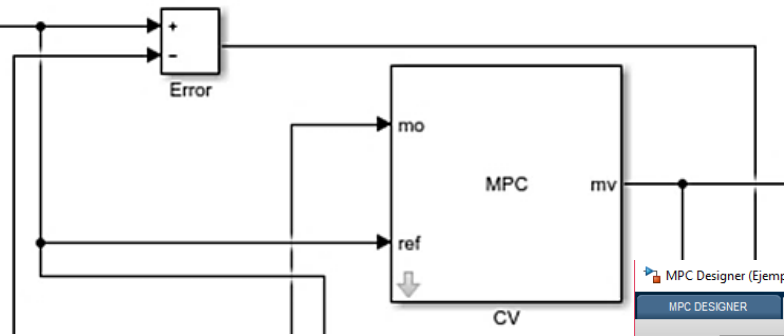
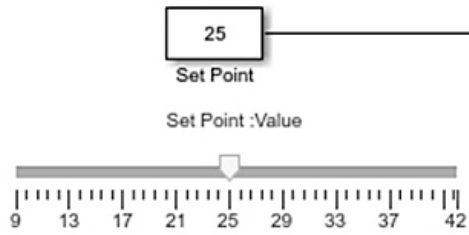


- **Board:** Elegir el modelo de la tarjeta (**Pi 3 Model B**)
- **Slave address:** Elegir la dirección del esclavo conectado (**4D = 77**)
- **Data type:** Se elige el tipo de dato que se obtendrá a la salida del bloque (**uint8**).
- **Sample time:** Elegir el tiempo de muestreo (**0.108**).



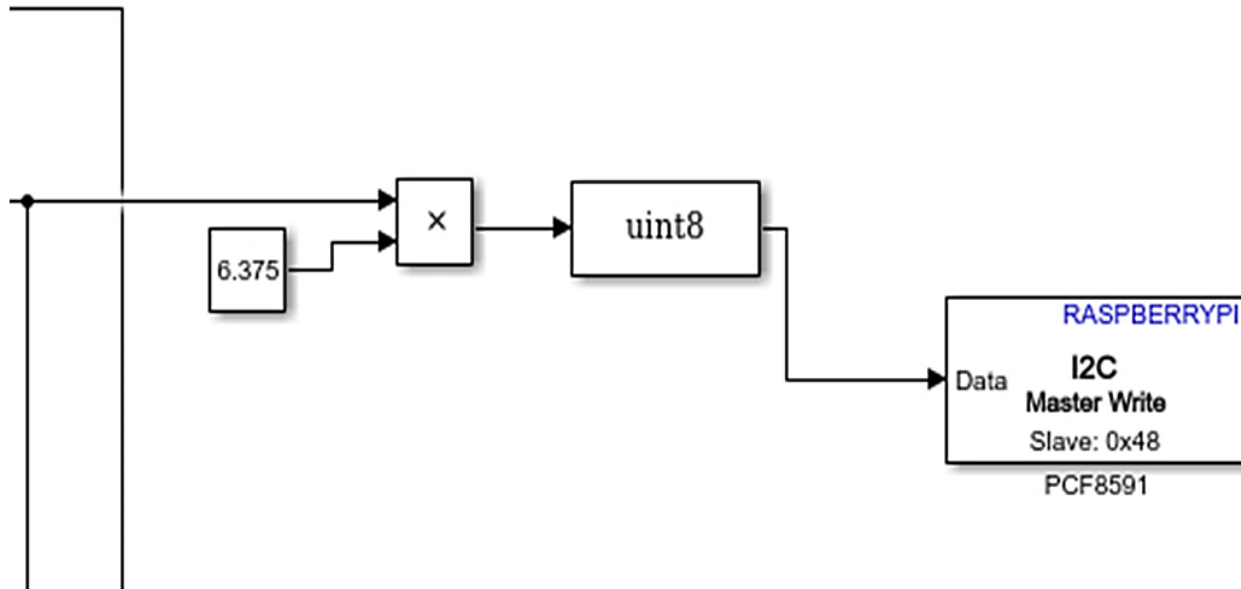
CONTROL PREDICTIVO POR MODELO

SETPOINT Y BLOQUE CONTROL



CONTROL PREDICTIVO POR MODELO

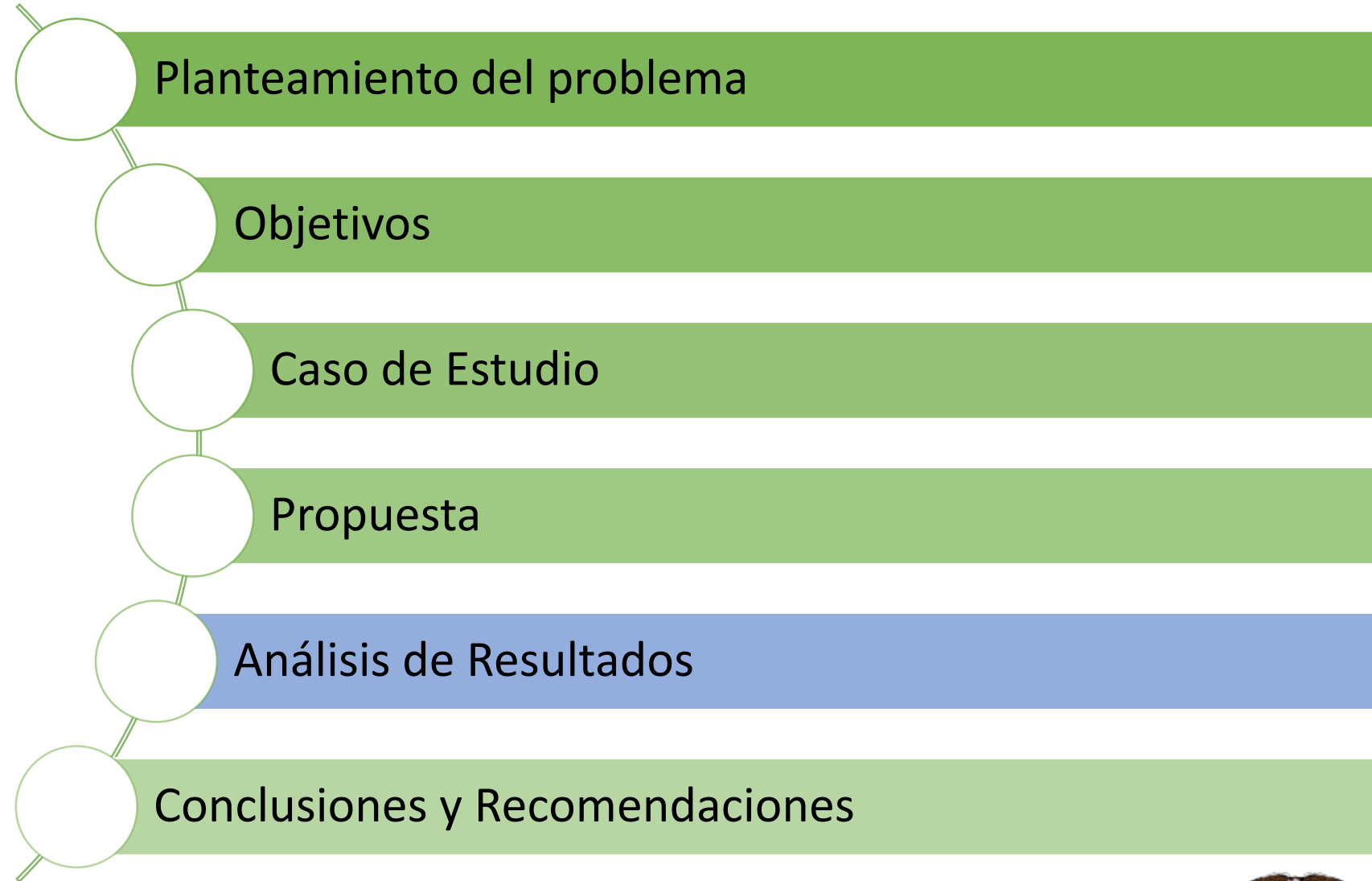
SALIDA DEL CONTROLADOR



- **Board:** Elegir el modelo de la tarjeta (**Pi 3 Model B**)
- **Slave address:** Seleccionar la dirección del esclavo por donde se va a escribir los valores de 0 – 255 (**48 = 72**).
- **Slave register address:** Se elige la dirección del registro del esclavo, esto se lo puede encontrar en las hojas de datos del integrado. (**120**)

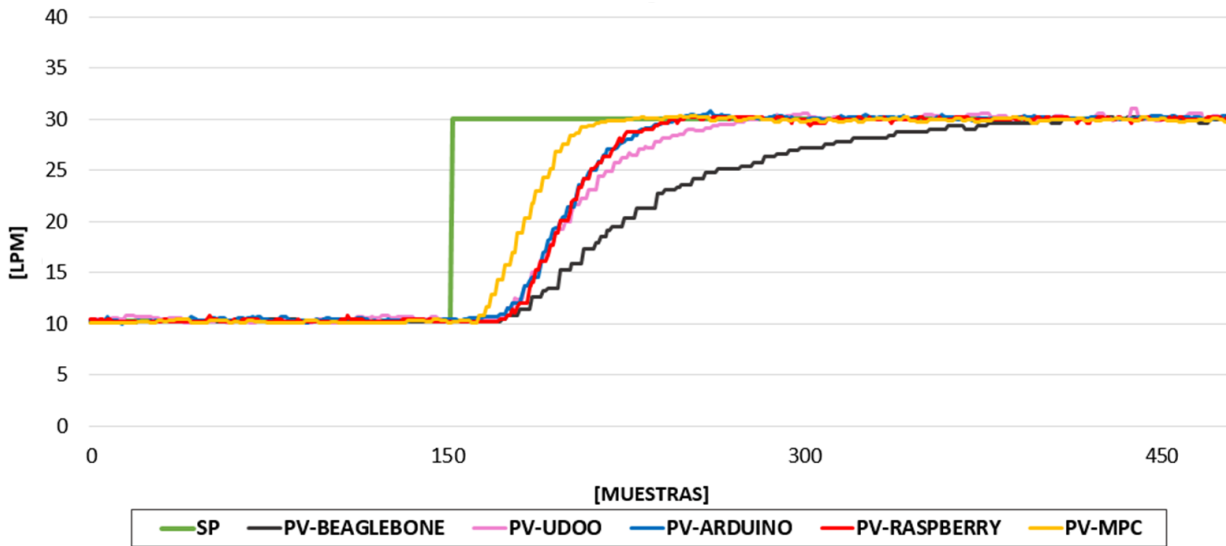


CONTENIDO



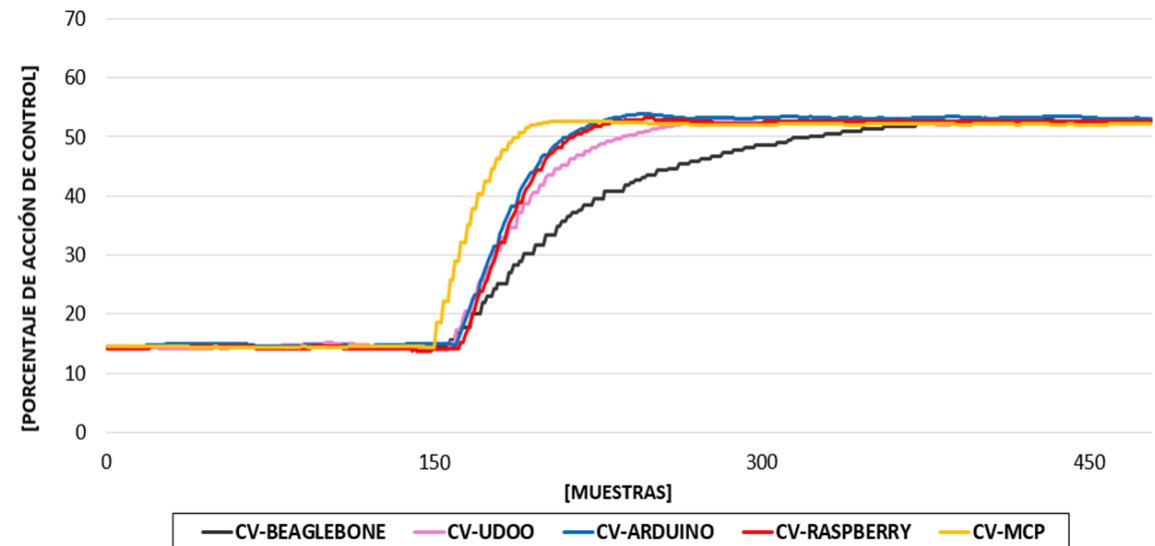
ANÁLISIS DE RESULTADOS

RESPUESTA ANTE UN ESCALÓN UNITARIO DE AMBOS CONTROLADORES



SP VS. PV

CV



ANÁLISIS DE RESULTADOS

VALORES CARACTERÍSTICOS TEMPORALES Y DE SOBREOSCILACIÓN

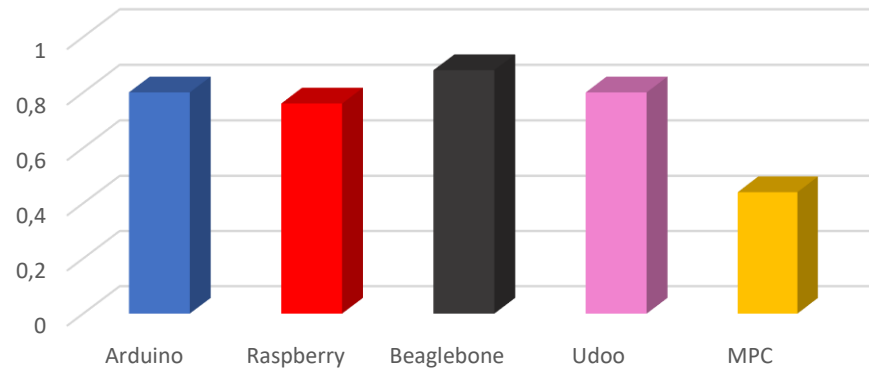
| | | Tarjeta | | | | |
|--|----|---------|-----------|------------|-------|-------|
| | | Arduino | Raspberry | Beaglebone | Udoo | MPC |
| Valores Característicos y de Sobreimpulso | Tm | 0.8s | 0.76s | 0.88s | 0.8s | 0.44s |
| | Tr | 1.92s | 1.8s | 4.12s | 2.49s | 1.36s |
| | Ts | 3.16s | 3.2s | 7.11s | 4.24s | 2.16s |
| | %M | 3% | 0.25% | 0.25% | 2% | 0.75% |



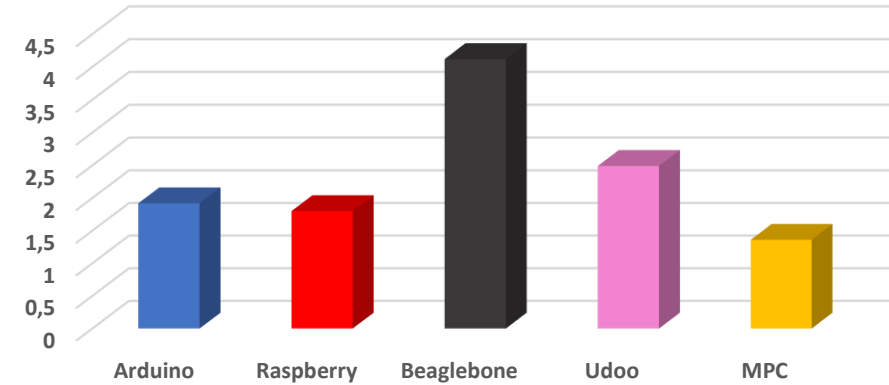
ANÁLISIS DE RESULTADOS

VALORES CARACTERÍSTICOS TEMPORALES Y DE SOBRESOSCILACIÓN

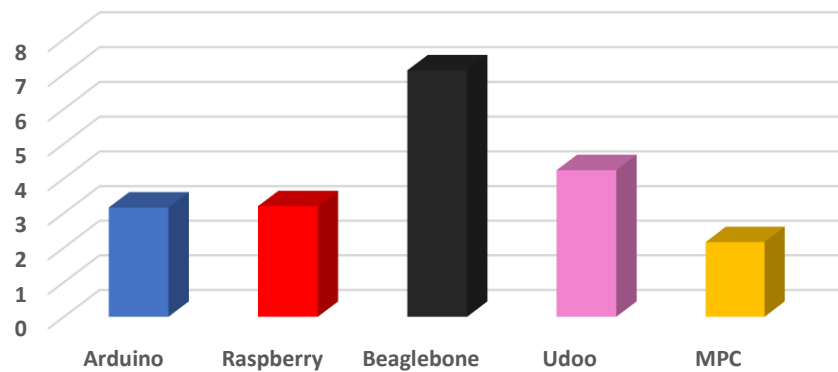
T_m



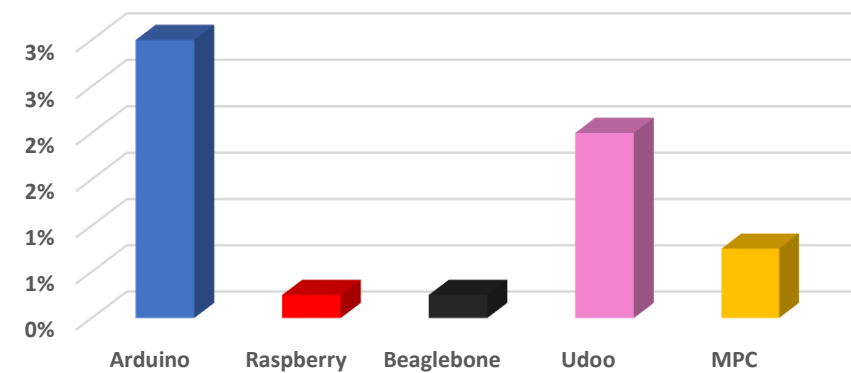
T_r



T_s



%M



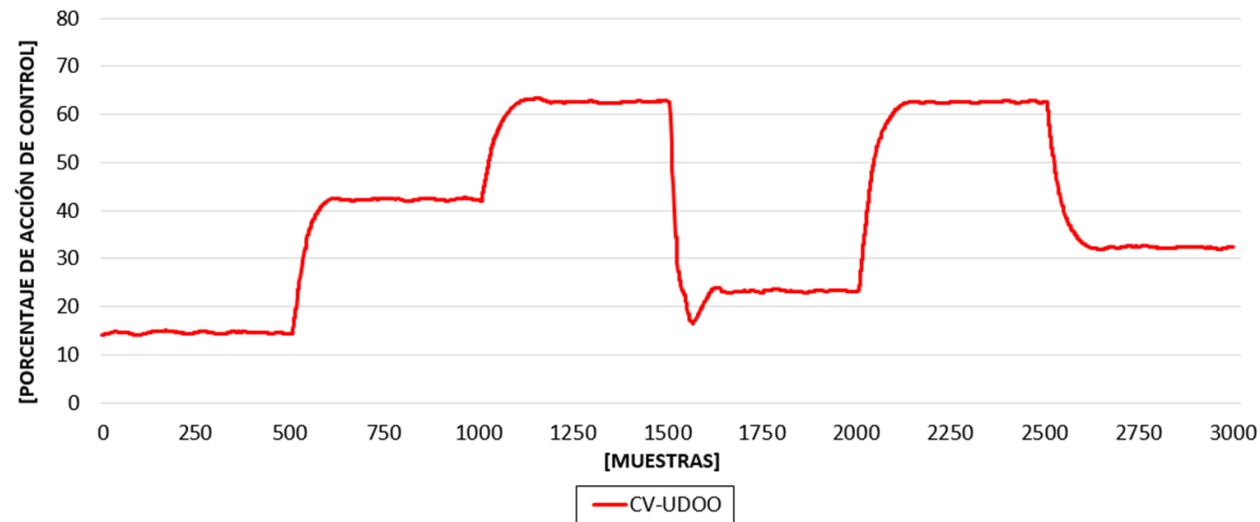
ANÁLISIS DE RESULTADOS

CONTROLADOR BORROSO EN UDOO NEO FULL



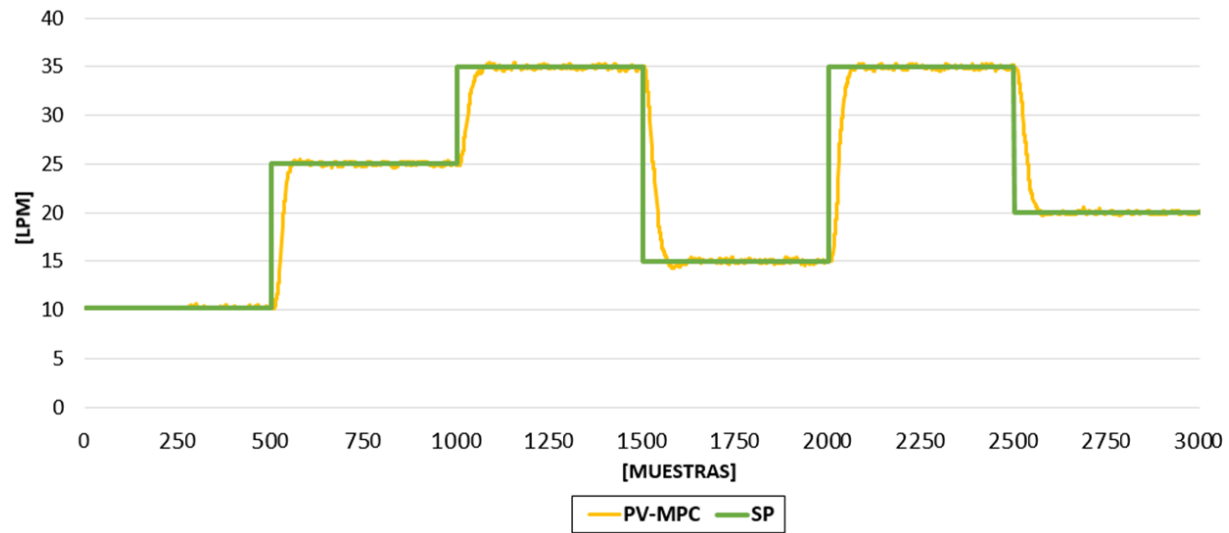
SP VS. PV

CV



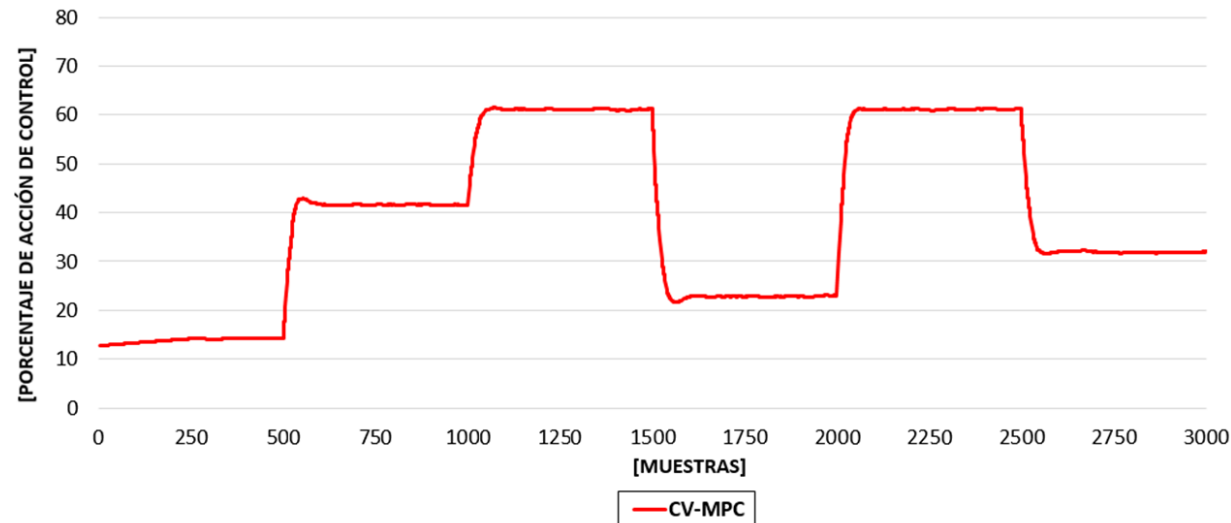
ANÁLISIS DE RESULTADOS

CONTROLADOR MPC EN RASPBERRY PI 3



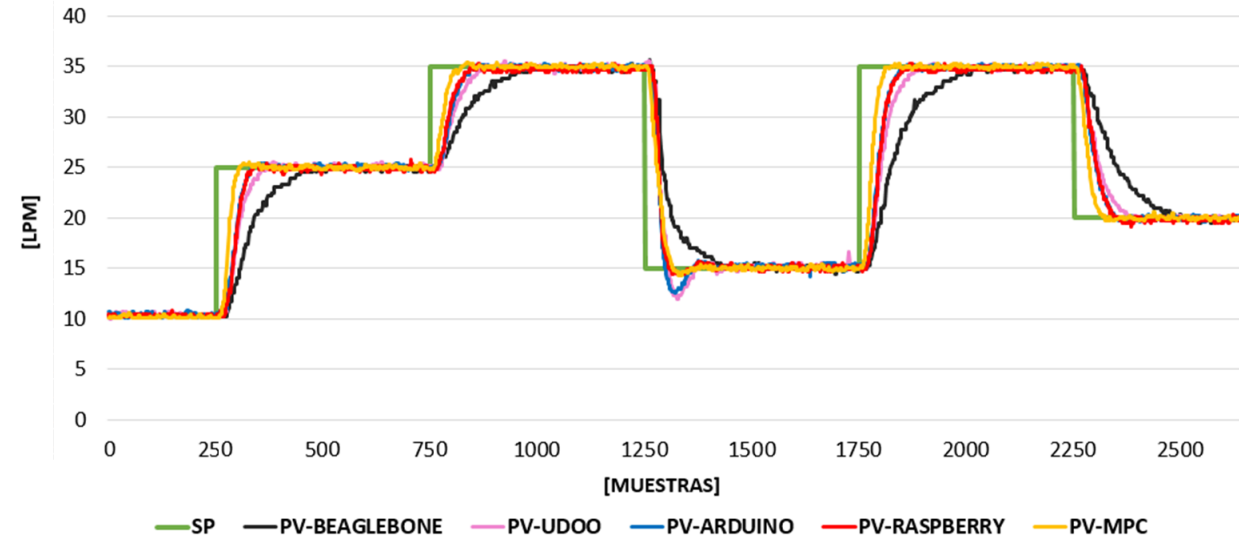
SP VS. PV

CV

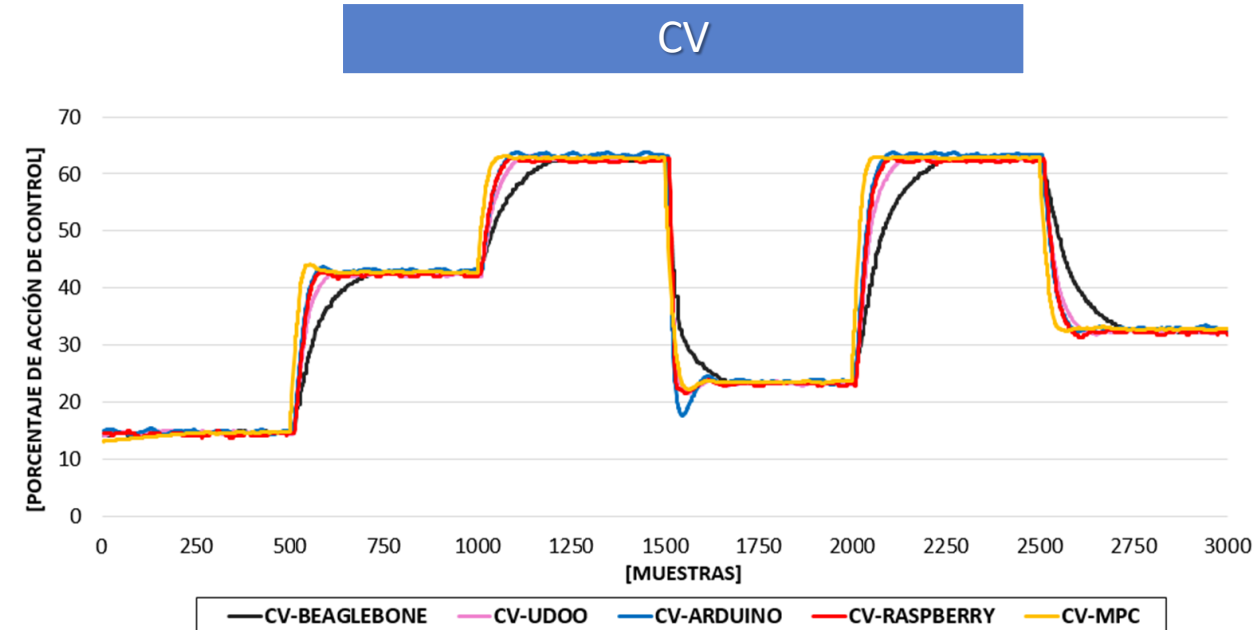


ANÁLISIS DE RESULTADOS

RESPUESTA CON MÚLTIPLES CAMBIOS DE CONSIGNA DE AMBOS CONTROLADORES

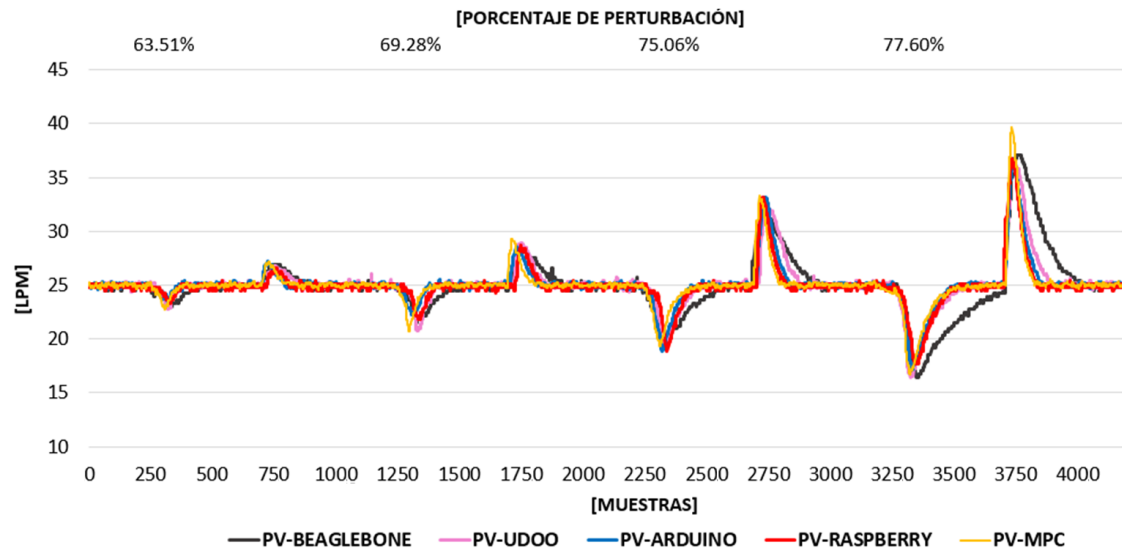


SP VS. PV

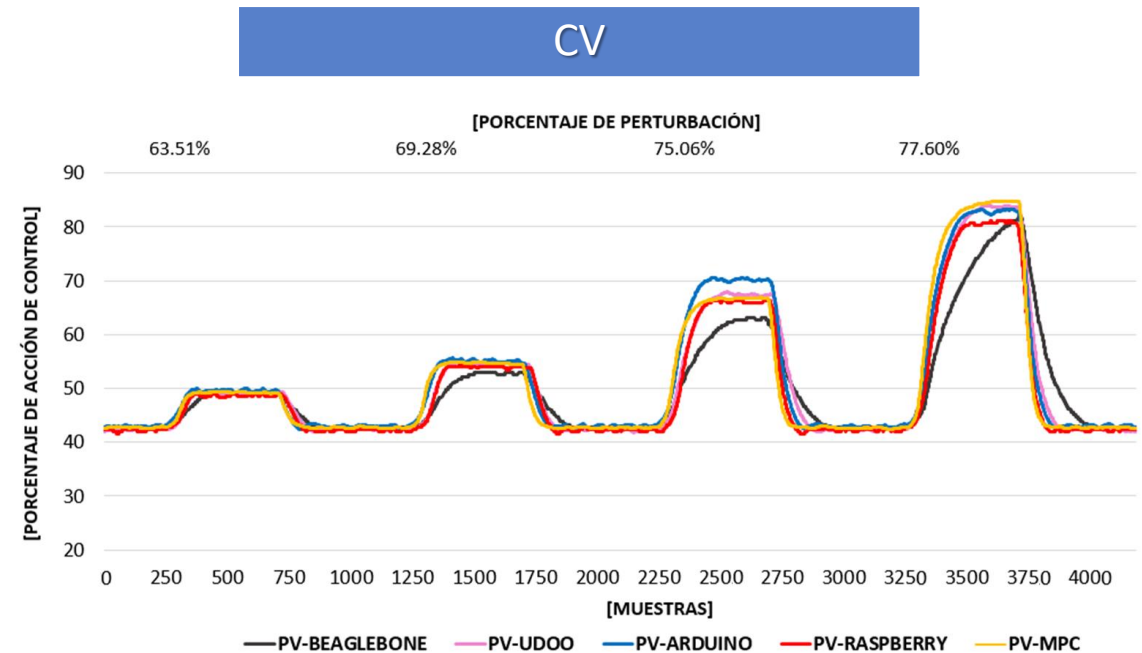


ANÁLISIS DE RESULTADOS

RESPUESTA ANTE UN PORCENTAJE DE PERTURBACIÓN DE AMBOS CONTROLADORES



SP VS. PV



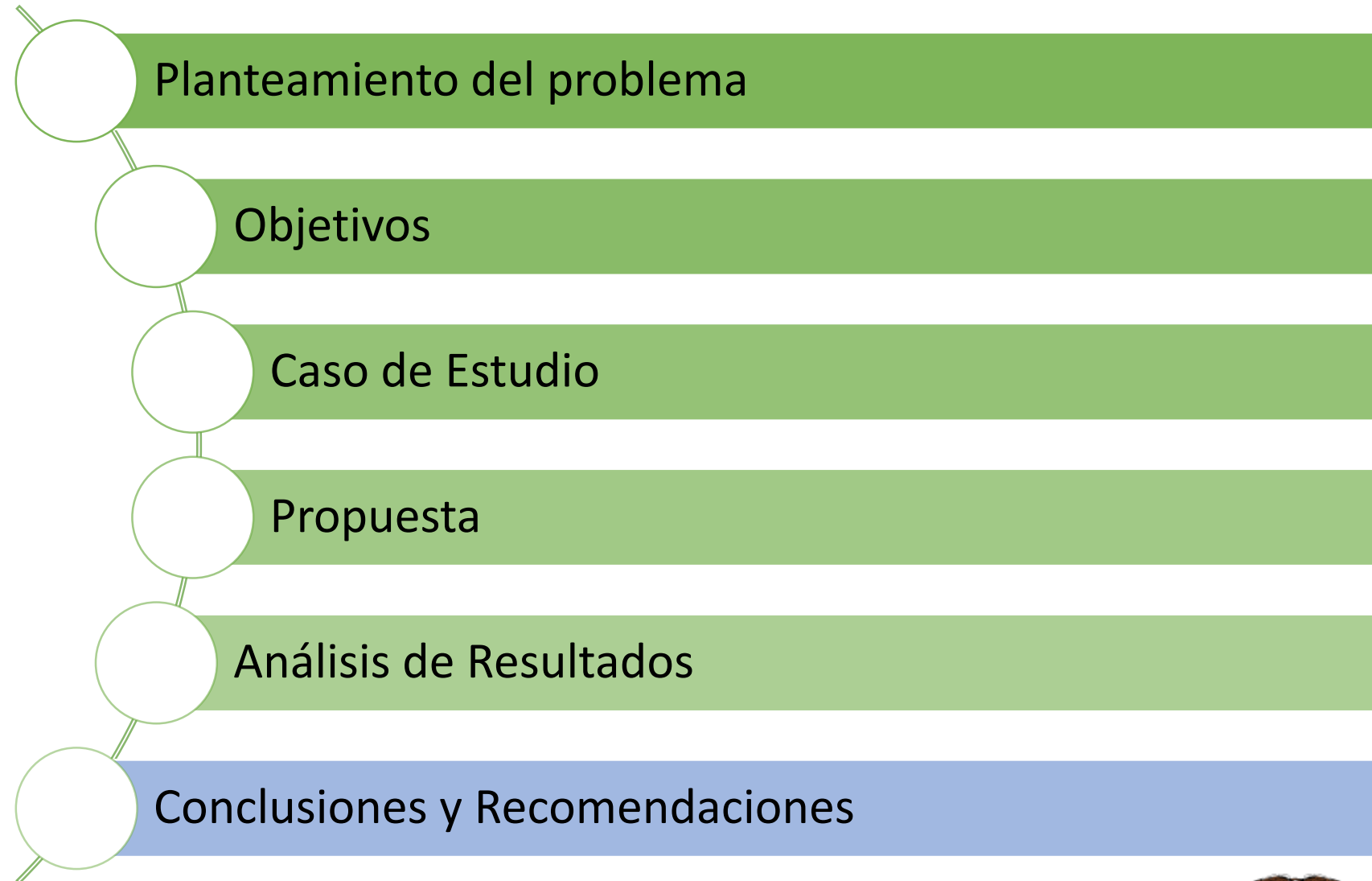
ANÁLISIS DE RESULTADOS

ANÁLISIS DE COSTOS

| TARJETA | ARDUINO UNO R3 | RASPBERRY PI 3 | BEAGLEBONE BLACK | UDOO NEO FULL |
|--|--------------------------------|--------------------------------|-------------------------|-----------------------------|
| COSTO (Incluye accesorios necesarios para trabajar) | \$13.50 (Fuente Mercado Libre) | \$78.00 (Fuente Mercado Libre) | \$80.00 (Fuente Amazon) | \$100.00 (Fuente Udoo Shop) |
| Amplificadores de Alta Impedancia (LF353) | \$1.00 | \$1.00 | \$1.00 | \$1.00 |
| Conversor Analógico - Digital (ADC MCP3202) | \$4.50 | \$4.50 | \$4.50 | |
| Conversor Digital - Analógico (DAC PCF) | \$4.25 | \$4.25 | \$4.25 | \$4.25 |
| Diseño Placas | \$7.00 | \$7.00 | \$7.00 | \$7.00 |
| Otros (Cajas, resistencias, capacitores, zócalos) | \$10.25 | \$10.25 | \$10.25 | \$10.25 |
| TOTAL | \$40.50 | \$105.00 | \$107.00 | \$122.50 |



CONTENIDO



CONCLUSIONES

- La variedad de tarjetas embebidas que se encuentra en el mercado crece exponencialmente, no solo en marcas, sino en las versiones de las ya existentes, dependiendo de las necesidades y economía del usuario; para este trabajo se eligieron versiones potentes de microcomputadoras como lo son: Raspberry Pi 3, Beaglebone Black, Udo Neo Full y la versión más básica e icónica de Arduino (UNO), las cuales ofrecieron buenas prestaciones en relación a costos reducidos.
- Se ha corroborado que las denominadas tecnologías de bajo costo a pesar de sus limitaciones técnicas permiten la implementación de control avanzado, mediante la utilización de programación de alto nivel, librerías especializadas y toolboxes de softwares matemáticos desarrollados específicamente para este tipo de dispositivos.
- El diseño del algoritmo de control borroso con inferencia tipo Mamdani se realiza con relativa facilidad, ya que no requiere el modelo matemático del proceso que se va a controlar; a pesar de ello ha presentado resultados bastante eficientes y dado que los requerimientos computacionales no son tan altos, ha permitido que se lo implemente en todas las tarjetas antes mencionadas, teniendo como base un código muy similar en todos los casos.



CONCLUSIONES

- La implementación del controlador MPC en tarjetas embebidas de bajo costo se realiza con mayor facilidad mediante la herramienta Simulink, siempre y cuando disponga de los paquetes de soporte adecuados para trabajar en ellas; el paquete para Raspberry Pi 3 incluye bloques para leer y escribir datos mediante comunicación I²C, para Beaglebone Black se carece de ellos.
- El control MPC solo se pudo implementar en la tarjeta Raspberry Pi 3, por las prestaciones de la herramienta Simulink; en Arduino UNO R3 no se logró realizarlo debido a que el controlador genera un coste computacional alto y la capacidad de cálculo de esta tarjeta no es suficiente; en Beaglebone Black y Udo Neo Full a pesar de tener capacidades de cálculo suficientes, no se dispone de los complementos necesarios y por ello tampoco se lo realizó.
- La tecnología que presentó mejores resultados ante la implementación de un controlador borroso y la única que permitió el desarrollo de un controlador MPC fue Raspberry Pi 3, a pesar de solo tener disponibilidad para señales de entrada y salida digitales, se demostró que utilizando elementos externos y acondicionando dichas señales se pueden desarrollar aplicaciones de control que ofrezcan resultados competitivos a los que brindan dispositivos de control industrial.



RECOMENDACIONES

- El código desarrollado para el controlador borroso a pesar de la similitud en todas las tarjetas, presenta variaciones en la forma en cómo se realiza la comunicación serial, por lo cual es adecuado verificar que buses de comunicación están activos y cuales están disponibles para establecer dicha comunicación.
- Cuando se envíe tramas por comunicación serial es recomendable usar programas externos (por ejemplo, el programa X-CTU), para verificar que la información que llega al puerto sea la adecuada, esto puede ayudar a encontrar y corregir rápidamente errores que se comenten al enviar datos por comunicación serial.
- Udo en todas sus versiones presenta en su entorno una interfaz similar a la de Arduino en su escritorio remoto, en el cual se pueden cargar programas desarrollados en Arduino IDE, con la única diferencia que al momento de escribir en el puerto serial se debe utilizar el comando Serial0.
- Para implementar el controlador MPC en la tarjeta Raspberry Pi 3, es recomendable instalar la versión 2017a de MATLAB, esto se debe a que solo en esta versión Simulink posee los bloques de comunicación I2C y SPI.



MUCHAS GRACIAS



ESPE
UNIVERSIDAD DE LAS FUERZAS ARMADAS
INNOVACIÓN PARA LA EXCELENCIA